



El amplificador de orgón: un nuevo emisor de orgón que utiliza el efecto piezoeléctrico inverso

Resumen

En este artículo, presentamos un aparato novedoso para la transferencia de ondas de microondas, 5G, RF y EM en orgón, una fuerza ordenada de energía vital. Examinamos la naturaleza de la orgonita y las pirámides de orgón, y comprendemos la teoría operativa detrás de estos dispositivos comunes. Desglosamos cada paso en el proceso del oscilador y examinamos la recolección de ondas electromagnéticas. Exploramos la naturaleza ondulatoria de los medios y explicamos los patrones de resonancia que esperamos percibir en el cristal. Finalmente probamos el circuito para probar la producción de orgón. Este artículo es la primera parte de una serie de dos partes que explica la teoría completa, el funcionamiento y la construcción del amplificador de orgón. La Parte 2 contendrá una guía de construcción con selección de piezas y técnicas de construcción.

¿Qué es el orgón?

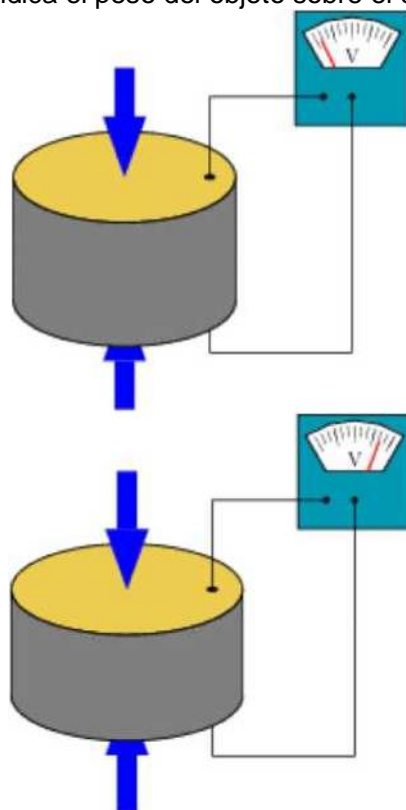
El orgón es energía vital.

El orgón fue concebido como el principio antientrópico del universo, un sustrato creativo en toda la naturaleza comparable al éter electromagnético. El orgón se experimenta como una sustancia omnipresente sin masa, más estrechamente asociada con la energía viva que con la materia inerte. El orgón puede crear organización en todas las escalas, desde las unidades microscópicas más pequeñas,

llamadas biones, hasta estructuras macroscópicas como organismos, nubes o incluso galaxias. Orgon es una fuerza de vida universal estrechamente relacionada con el Chi y el Prana.

El orgón es generado desde una secuencia.

Los cristales de cuarzo son una estructura repetitiva muy regular de átomos de silicio y oxígeno. El orgón puede fluir desde la red cristalina de sílice en las condiciones adecuadas. El cuarzo se usa en muchos productos electrónicos, uno de los cuales es la balanza electrónica común. Cuando la red cristalina de cuarzo se tensa bajo el peso de un objeto, produce una carga que se puede detectar. Se mide la cantidad de carga detectada, y esta medida indica el peso del objeto sobre el cristal.



<https://es.wikipedia.org/wiki/Piezoelectricidad>

El efecto de convertir la tensión en una carga medible se denomina piezoelectricidad, que muchos dispositivos electrónicos utilizan para otras funciones. El circuito del amplificador de orgón utiliza el efecto piezoeléctrico para hacer vibrar el cristal de cuarzo en su frecuencia de resonancia y todos los armónicos, llamados frecuencias armónicas. Cada muestra de cristal tiene un conjunto de frecuencias de resonancia específico por el corte y la claridad del mismo, pero también por la orientación de la carga aplicada. Al pulsar eléctricamente la muestra de cuarzo en sintonía con sus frecuencias resonantes y armónicas, el amplificador de orgón puede convertir los cristales de cuarzo y sílice en un emisor de orgón que transfiere energía.

¿Cómo funcionan las pirámides de orgón?

Tanto la orgonita como las pirámides de orgón tienen como objetivo utilizar energía de radiofrecuencia (RF), a veces llamada orgón negativo o DOR, para crear energía orgónica positiva. Tanto la orgonita como las pirámides de orgón están hechas de capas de resina epoxi y materiales conductores, con un cristal de cuarzo suspendido dentro de la estructura de metal/resina. Los materiales de orgonita se eligen específicamente por sus propiedades, la resina por su propiedad de aislamiento eléctrico, el metal por su

alta conductividad eléctrica y un cristal de cuarzo monocristalino por su bien estudiada propiedad de piezoelectricidad.

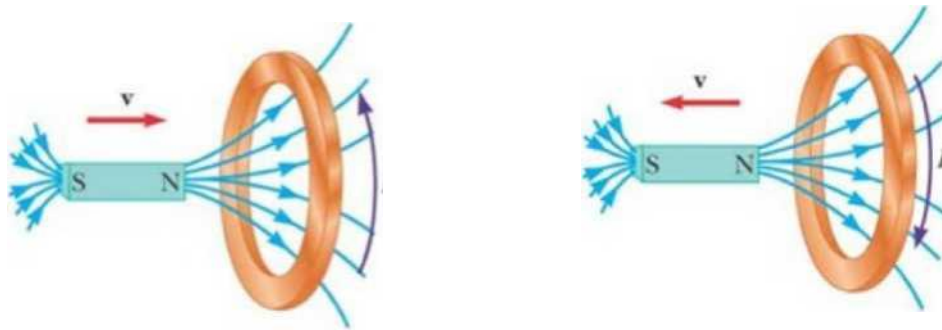
La orgonita se construye mezclando material conductor con resina epoxi y permitiendo que la resina se limpie mientras una muestra de cuarzo está suspendida dentro del molde. La muestra de cuarzo termina encerrada en capas de resina y materiales conductores, y utiliza el metal de la orgonita para aprovechar las ondas electromagnéticas. La energía en la onda EM capturada es proporcionada al cristal de cuarzo para que se convierta en orgón.



Crédito de la foto: Marcel Klapp

El material conductor utilizado dentro de la orgonita puede ser cobre, virutas de acero, plata, oro, aluminio o virutas de metal, todos con el mismo propósito, facilitar la transferencia de carga. La concentración de materiales conductores dentro de la resina es de gran importancia, ya que debe haber una concentración superior al 50 % de materiales conductores en la resina, para facilitar un número óptimo de rutas en las que la carga se puede distribuir por toda la estructura. Ciertos metales tienen una conductividad más alta que otros, siendo la plata, el cobre, el oro y el aluminio los que tienen la mayor conductividad eléctrica. La plata es el metal más conductor, pero bastante caro, por lo que se usa cobre en su lugar con poca diferencia en la conductividad. El propósito del material conductor es maximizar el efecto de la ley de Lenz.

A continuación se incluye una breve reseña de la ley de Lenz:



La ley de Lenz es una de las teorías fundamentales del electromagnetismo y fue descubierta por Emil Lenz en 1834. Se puede visualizar en la siguiente imagen:

Cuando el campo magnético se mueve hacia el anillo, la corriente en el conductor de cobre se ve obligada a moverse en una dirección, indicada por la flecha morada. Cuando el campo magnético sale del anillo, el flujo de corriente eléctrica se invierte. Este sencillo experimento se extiende a la pirámide de orgón, el campo magnético es inducido por ondas electrónicas de frecuencia muy rápida y el conductor de cobre actúa como un canal para la carga eléctrica.

Con una concentración óptima de material conductor dentro de la resina, esta carga inducida se dirige al cristal de cuarzo incrustado.



Crédito de la foto: Marcel Klapp

Existe cierta controversia en cuanto a la naturaleza exacta del cristal de cuarzo y el mecanismo que produce el orgón, pero después de mucha investigación y experimentación, se ha llegado al consenso de que el orgón surge del efecto piezoeléctrico de las estructuras cristalinas.

La piezoelectricidad es una propiedad de los cristales

El efecto piezoeléctrico no es una propiedad exclusiva del cuarzo. Hay muchas piedras preciosas y otros materiales que tienen una estructura cristalina que presentan el mismo efecto. Langasita, galio, topacio, turmalina e incluso estructuras cristalinas extrañas como ciertas sales, azúcares y huesos pueden mostrar las propiedades de la piezoelectricidad.

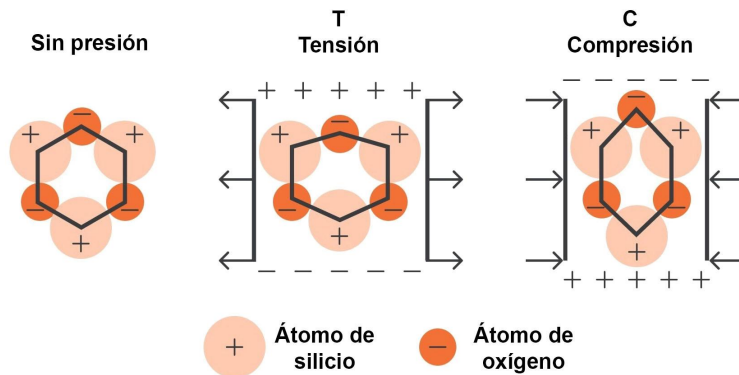


De izquierda a derecha, Langasita, Topacio, Turmalina, Sal de Rochelle y Hueso

Debido a la dependencia de las pirámides de orgón y la orgonita sobre el efecto piezoeléctrico, se dedica una sección a continuación.

El efecto piezoeléctrico

La piezoelectricidad es la propiedad de una estructura cristalina para crear una carga neta bajo tensión. Observemos el siguiente diagrama.



Cuando la red cristalina no está sometida a tensión, su carga es neutra, todos los átomos tienen carga equilibrada. A medida que la red cristalina se somete a tensión, los átomos de silicio atómicamente positivos se desplazan hacia arriba en relación con los átomos de oxígeno atómicamente negativos. El resultado es que el área alrededor de los dos átomos de silicio positivos en la parte superior se convierte en un área neta positiva de carga. Lo contrario sucede hacia la parte inferior de la red, los átomos de oxígeno se mueven hacia abajo en relación con el átomo de silicio positivo, creando un área de carga neta negativa. Cuando la red está bajo compresión ocurre lo contrario, y el átomo de oxígeno hacia la parte superior de la red se desplaza, creando una región de carga neta negativa. Hacia la parte inferior de la red, el átomo de silicio desplazado crea una región de carga positiva neta. Recuerde que no debe confundirse con la terminología, una región neta negativa o una región neta positiva no es inherentemente mejor que la otra, sino dos lados de la misma fuerza eléctrica.

En resumen, cuando la red cristalina de silicio/oxígeno se distorsiona, produce una carga eléctrica neta.

Este efecto se usa en dispositivos industriales y científicos comunes que incluyen altavoces, micrófonos, impresión de chorro de tinta piezoeléctrico, generación de electricidad de alto voltaje, generadores de tiempo en dispositivos electrónicos, microbalanzas, controladores de boquillas ultrasónicas y enfoque ultrafino de conjuntos ópticos. Constituye la base para los microscopios de sonda de barrido que resuelven

imágenes a la escala de los átomos. Se utiliza en las pastillas de algunas guitarras amplificadas electrónicamente y como trigger en la mayoría de las baterías electrónicas modernas. El efecto piezoeléctrico también encuentra usos cotidianos, como generar chispas para encender dispositivos de cocina y calefacción a gas, antorchas y encendedores de cigarrillos. Los materiales que exhiben el efecto piezoeléctrico también exhiben el efecto piezoeléctrico inverso, la generación interna de una tensión mecánica resultante de un campo eléctrico aplicado. El efecto piezoeléctrico inverso es el mecanismo principal utilizado en las pirámides de orgonita y orgón. La generación de orgón se encuentra en el paso crítico después de aplicar energía eléctrica al cristal. Después de que la tensión dentro de la red alcanza un máximo, es la tendencia de la red a volver a un estado de equilibrio lo que genera energía orgónica. El campo eléctrico entra en el cristal y, como cuando se comprime un resorte y se siente el retroceso, el cristal tiene una tendencia natural a volver a su estado ordenado. La acción de regresar de un estado excitado al estado de equilibrio es la emisión primaria del pulso de orgón. La red cristalina tiene la capacidad de alternar entre estados muchos miles o millones de veces por segundo.

A través de este método, el cristal de cuarzo puede ser bombardeado de energía orgónica siempre que se aplique una carga pulsada muy regular a través de la red. El cristal oscilará de acuerdo con todos los armónicos y matices diferentes para cada muestra, dependiendo de la geometría y el color. Cuando los pulsos de energía a través del cristal se vuelven lo suficientemente rápidos para sintonizarse con la frecuencia natural de las muestras, se produce una retroalimentación positiva y el cristal vibrará con un patrón de onda. Esta estructura de onda adopta la forma matemática característica de una función de onda de Bessel. Para comprender correctamente la generación continua de energía orgónica debemos comprender la teoría ondulatoria que existe detrás de los modos de vibración del material.

Teoría de ondas

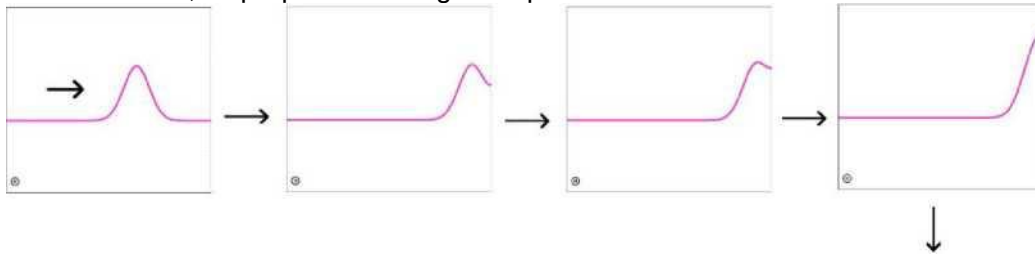
Muchos han estado en la playa o en el lago y entienden la acción de las olas superficiales.



Podemos ver que las ondas siguen un patrón y que están espaciadas a intervalos regulares de tiempo. Este patrón ocurre cuando las olas pueden propagarse libremente a través de un medio y romper en la orilla. Este es un ejemplo de movimiento ondulatorio en un líquido, pero resulta que las ondas también pueden formarse y propagarse dentro de objetos sólidos y gaseosos. Algunas cosas interesantes suceden cuando las ondas que viajan en un medio se limitan a propagarse dentro de una cierta geometría. Si la playa en la que rompen las olas es demasiado empinada, o si hay un acantilado al borde del agua, existe la posibilidad de que una ola se refleje en el límite que crea la orilla.

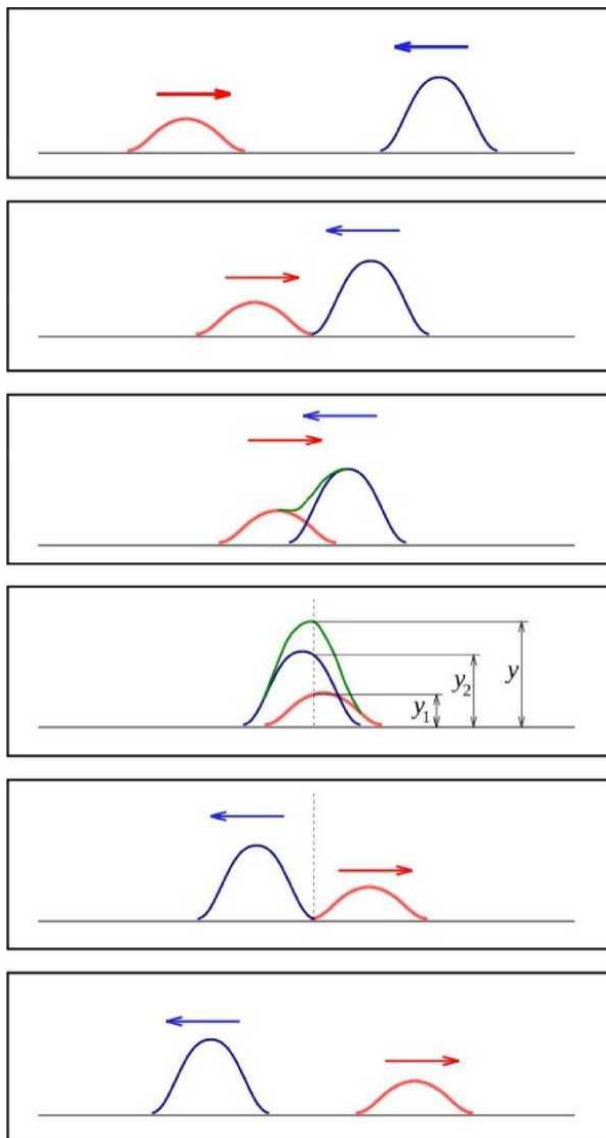


Las olas entrantes se estrellan en el rompeolas y la energía se lleva de regreso al medio lejos del rompeolas. A continuación, se proporciona un gráfico para ilustrar estas reflexiones.



Para comprender lo que sucede después de que se estrella la onda entrante, el lector debe comprender un concepto llamado superposición. Dentro de un medio lineal como el agua, las ondas que pasan unas sobre otras pueden sumarse constructivamente. Si dos ondas de igual polaridad chocan mientras se mueven en direcciones opuestas, las ondas pueden acumularse una encima de la otra, alcanzando una nueva altura combinada. De ello se deduce que este choque contra el malecón se sumará a la próxima ola entrante, creando una ola resultante de hasta el doble de la altura de la original.

A continuación, se muestra una ilustración de la superposición de ondas:



Podemos ver en este diagrama, las dos ondas se cruzan, pero se combinan para formar una altura combinada en verde. Vemos esta propiedad en prácticamente todos los medios: gases, líquidos, sólidos, plasmas, concentrados de Bose-einstein y otros. Vemos este patrón a escala macro y subatómica, está prácticamente en todas partes donde miramos.

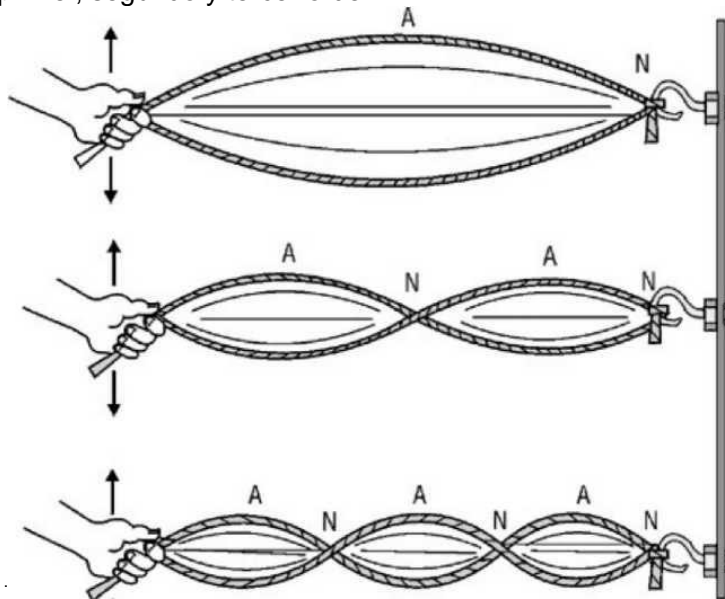
Mira a este surfista montando una ola que se ha estrellado en la orilla:

<https://www.youtube.com/watch?v=YB9sl7xFjdc>

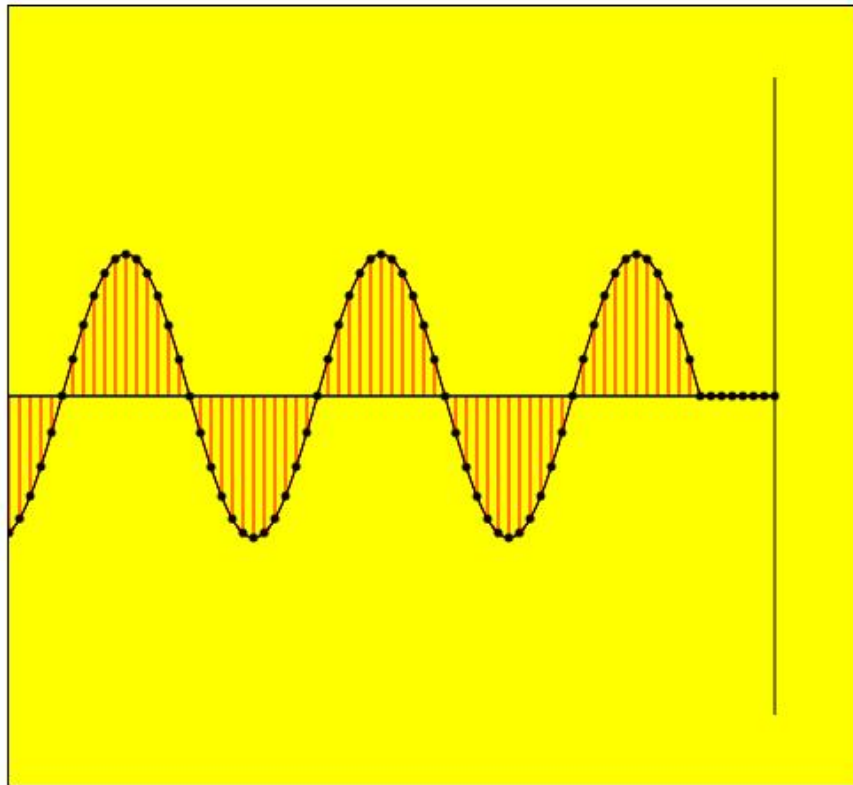


Podemos ver la onda reflejada (morada) y la siguiente onda entrante (amarilla) combinadas para formar una onda más grande (azul)

Habiendo entendido las propiedades de la reflexión y la superposición, ahora podemos entender la física detrás de un patrón de onda estacionaria. Muchos han visto este patrón antes en el sonido de una banda elástica o en la cuerda para saltar de un niño. A continuación se muestra un gráfico que representa las ondas estacionarias de primer, segundo y tercer orden



A continuación hay un enlace a una animación que representa el patrón de onda estacionaria, es una muy buena imagen para describir el concepto de onda estacionaria.



Reflection

- from a fixed end
- from a free end

Reset

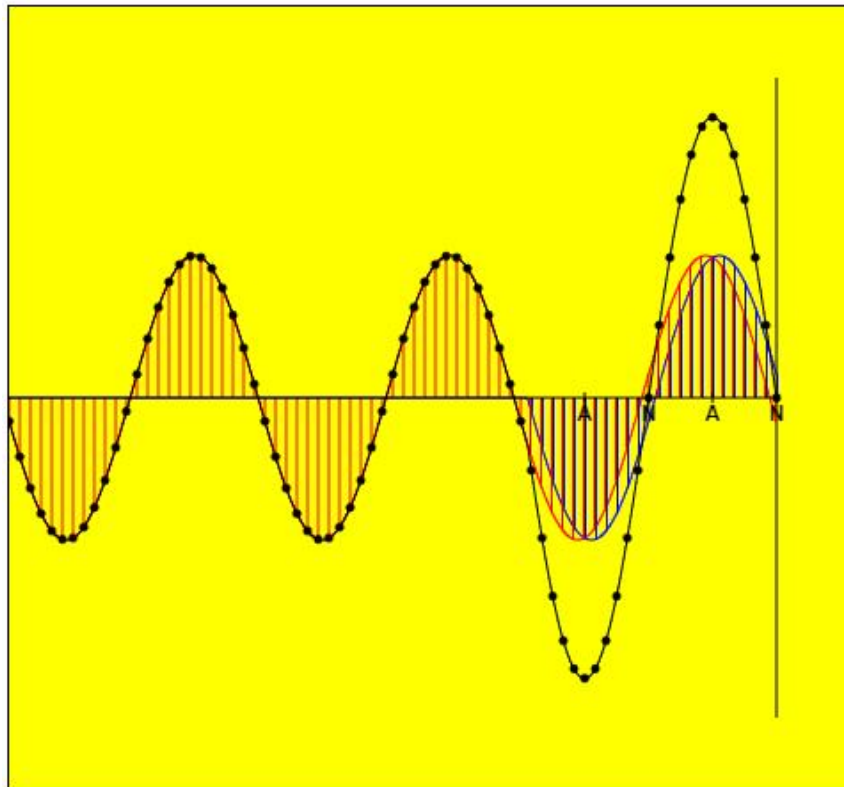
Pause

- Slow motion
- Animation
- Single steps

T/8

- Incidenting wave
- Reflected wave
- Resultant standing wave

W. Fendt 2003



Reflection

- from a fixed end
- from a free end

Reset

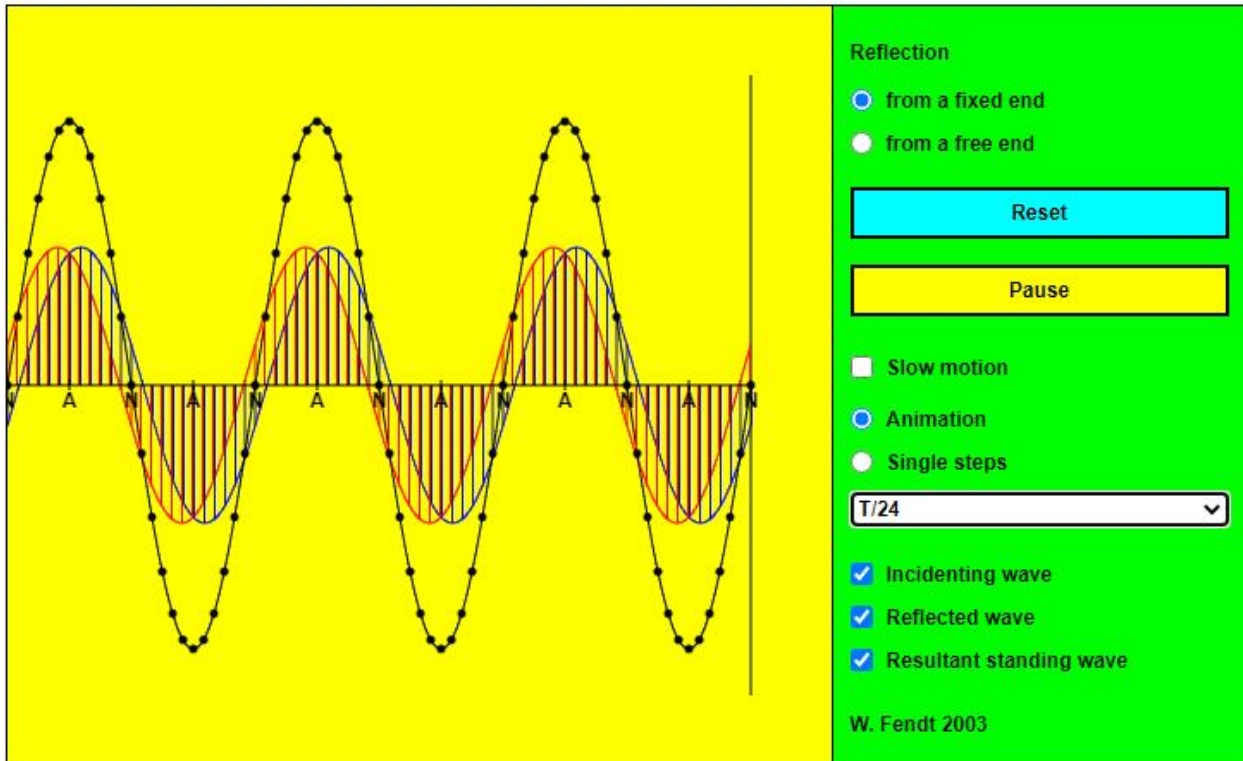
Pause

- Slow motion
- Animation
- Single steps

T/8

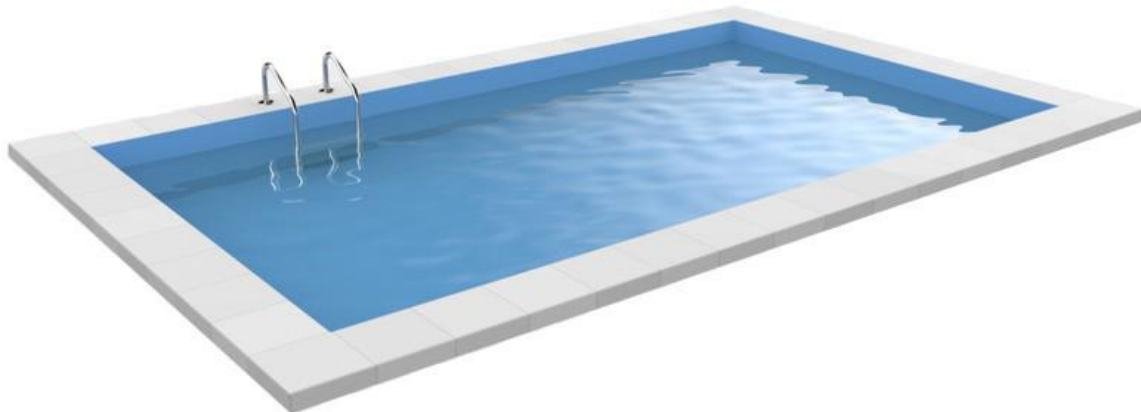
- Incidenting wave
- Reflected wave
- Resultant standing wave

W. Fendt 2003



Onda incidente (rojo), onda reflejada (azul), onda estacionaria (negro)

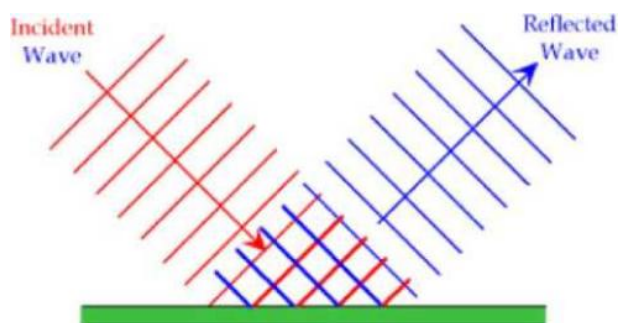
https://www.walter-fendt.de/html5/phen/standingwaver_election_en.htm



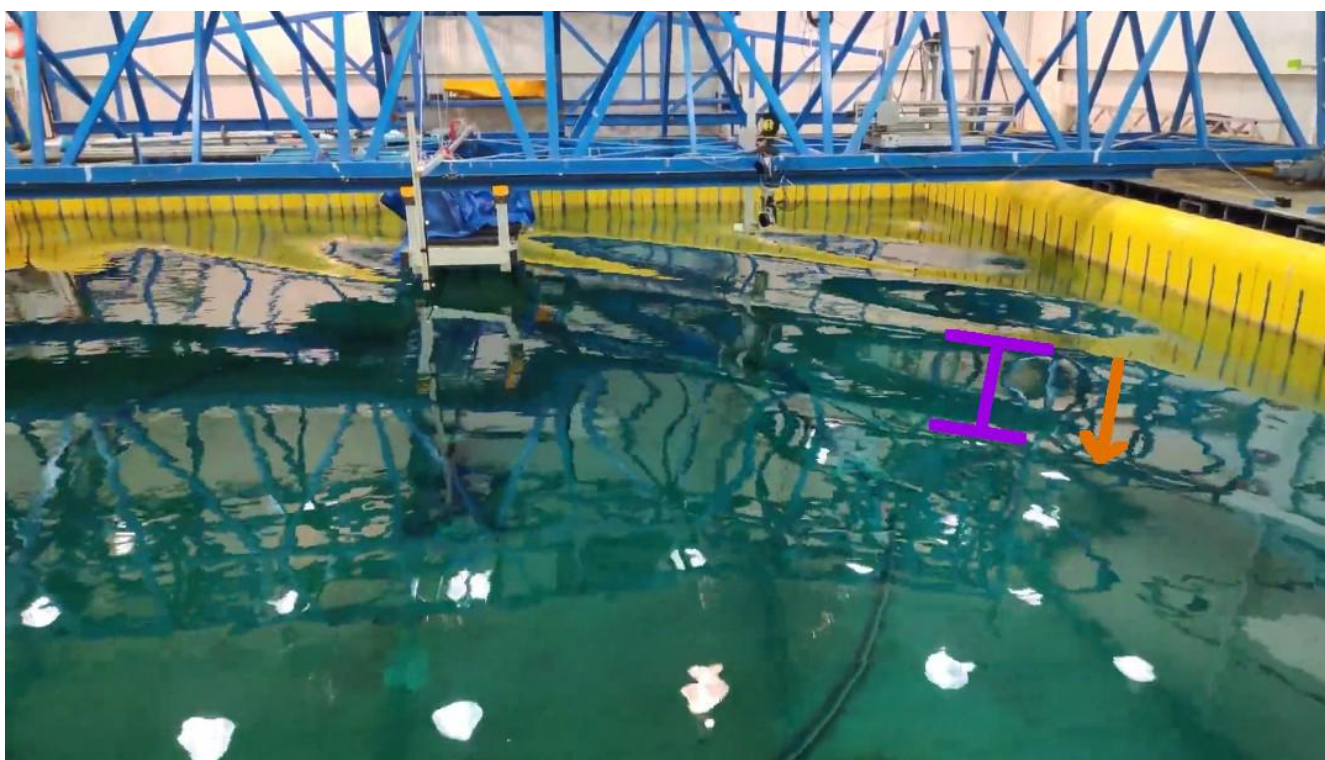
Supongamos que ahora limitamos el movimiento de las olas por segunda vez, de modo que las olas se reflejen dentro de una estructura que similar a una piscina. Usamos una piscina en esta analogía porque permite que se formen ondas superficiales dentro del medio líquido y tiene una barrera de hormigón reflectante en todos los lados.

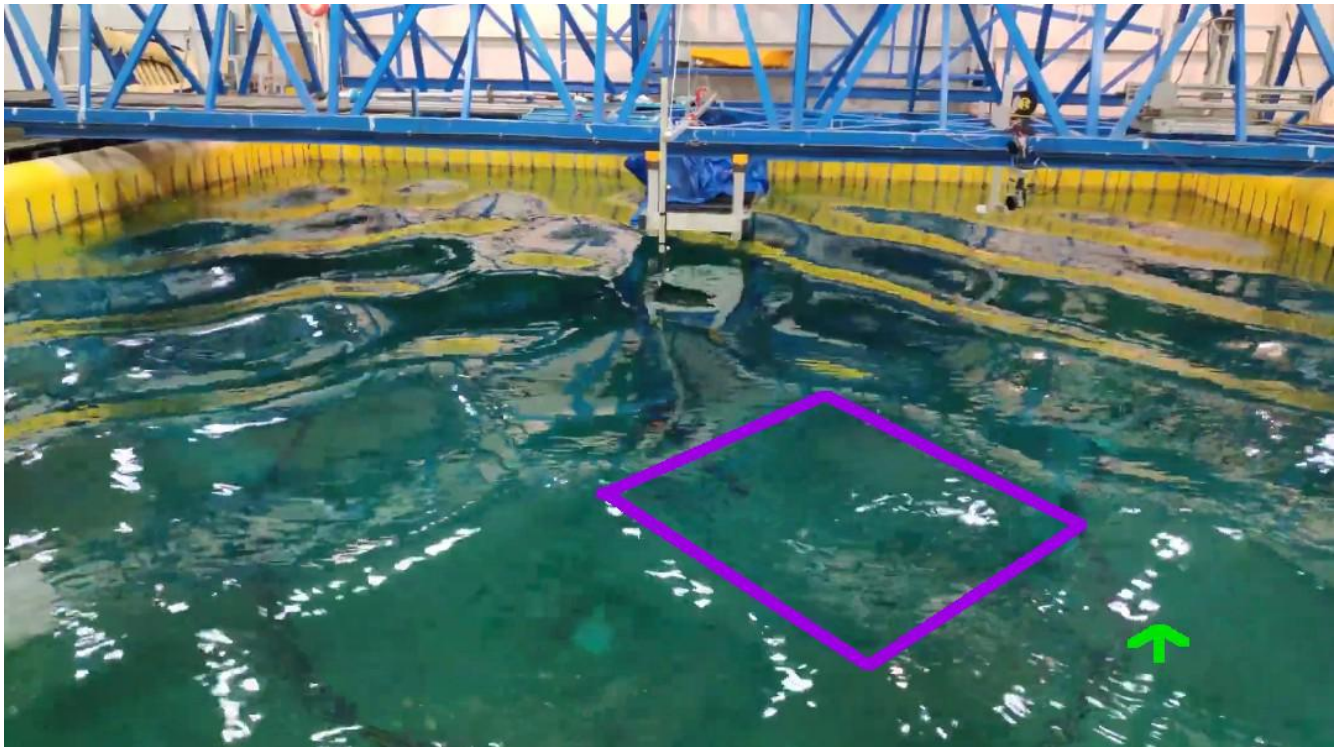
Nuestro experimento mental ha creado una piscina de olas, y usaremos esta analogía para describir el movimiento vibratorio similar a una onda de la estructura cristalina.

Cuando la onda incidente 2D incide contra las paredes del contenedor, obtenemos un patrón de tablero de ajedrez como se puede ver a continuación.



A continuación se muestra un video que muestra una onda estacionaria 2D dentro de un grupo de ondas experimentales:





<https://www.youtube.com/watch?v=JcdOWImPh1w>

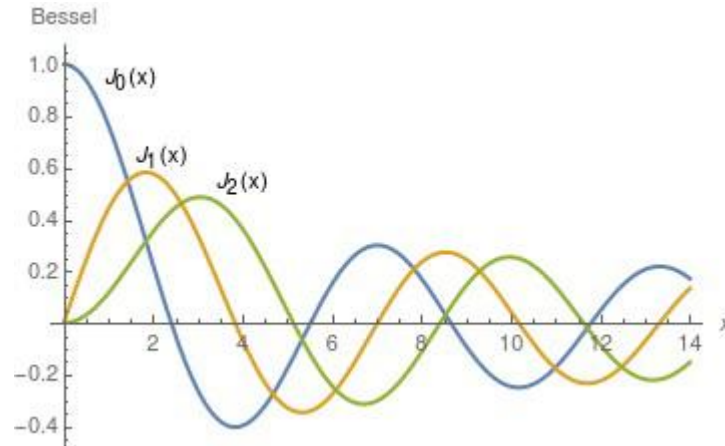
La primera imagen muestra la piscina con agua quieta y una ola incipiente proveniente de la esquina superior derecha de la piscina. La flecha naranja muestra la dirección de propagación y la medida violeta muestra la longitud de onda de los pulsos entrantes. En la segunda imagen podemos ver cómo las ondas que viajan en ambas direcciones crean un patrón de tablero de ajedrez. Si nos fijamos en la flecha verde, notamos un efecto muy interesante en el reflejo de la luz sobre el agua. Vemos un patrón de tablero de ajedrez similar, pero a menor escala. Compare este patrón con la luz que se refleja en la superficie de la primera imagen. Esta es una representación visual de los armónicos de nivel superior o modos resonantes.

Este patrón de onda estacionaria también surge en un instrumento muy común con el que casi todo el mundo está familiarizado, el bongó. Si extendemos este experimento mental a un plano circular 2D, podemos imaginar que la membrana del tambor vibra de la misma manera que la cuerda o la piscina.

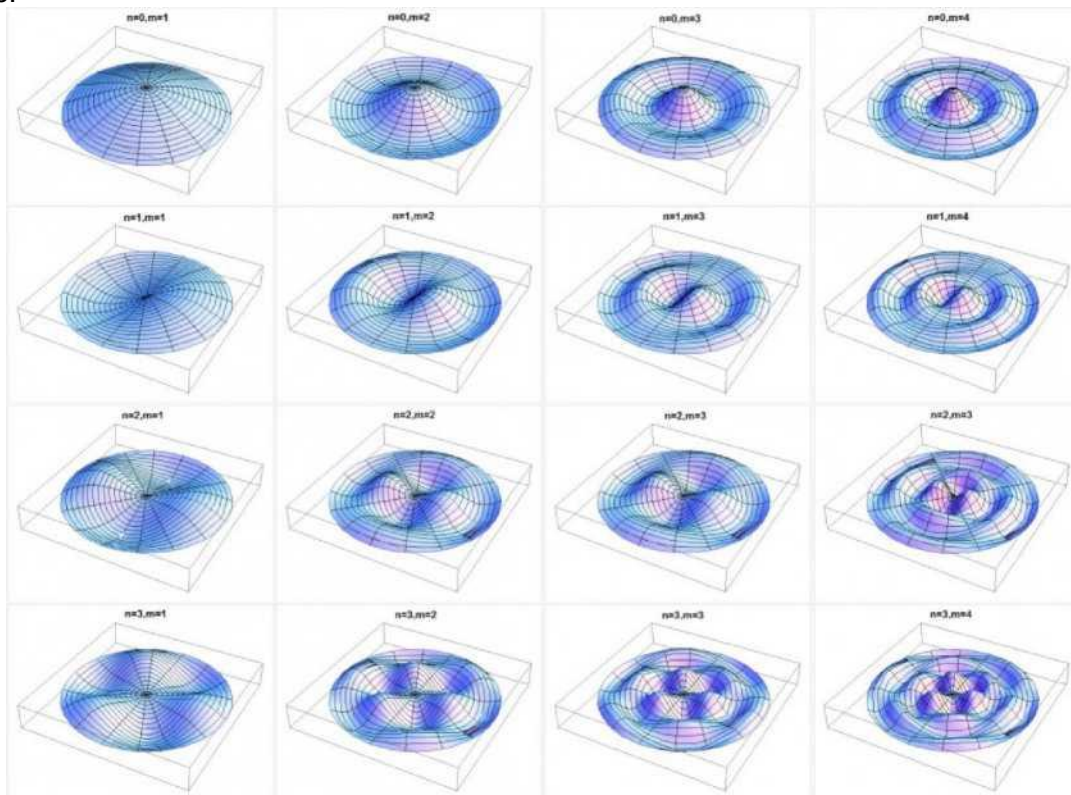


La vibración del tambor se puede predecir matemáticamente con una función de Bessel y, en función de las dimensiones físicas del tambor, la tensión en el diafragma y la masa de la membrana, se pueden

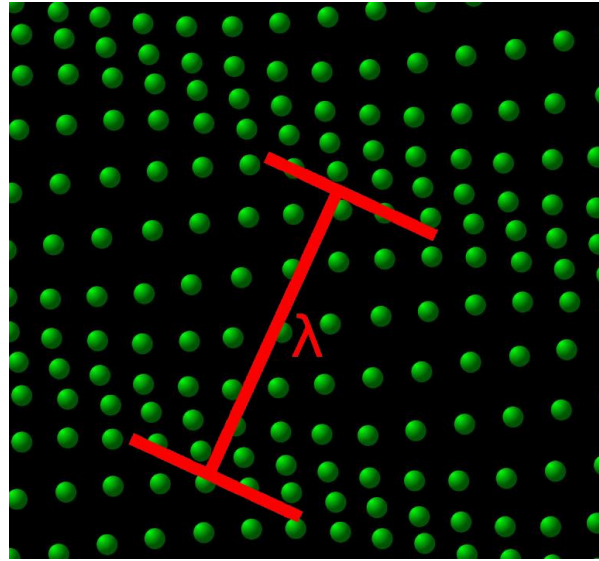
calcular los modos de resonancia del tambor. A continuación, se muestra la forma matemática genérica de una función de Bessel.



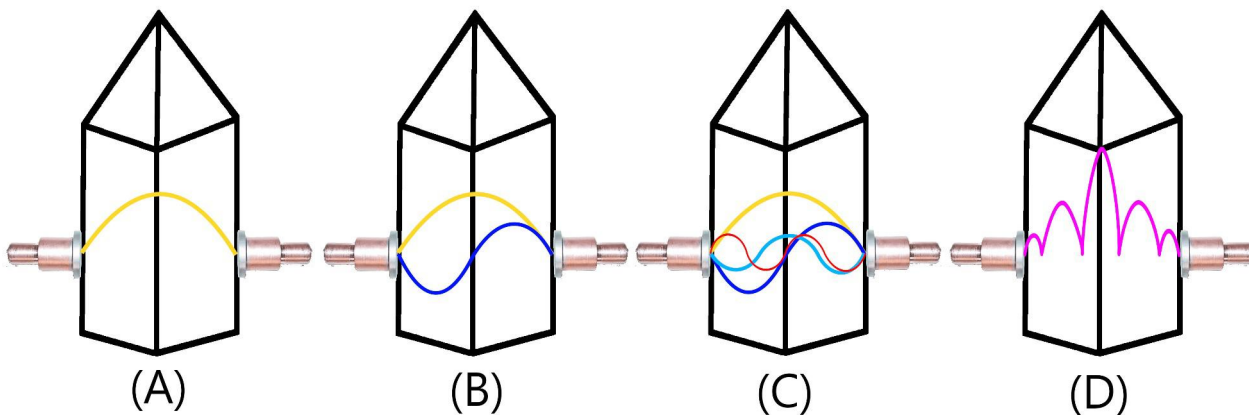
A continuación, se muestra una descripción de los modos de resonancia de ejemplo que puede tener una membrana vibrante. Si consideramos el 0 en el gráfico anterior como el centro del tambor, y la función de Bessel gira alrededor del punto central de la membrana. Al girar la función de Bessel alrededor del eje central, podemos predecir los modos de resonancia para tambores de todos los tamaños en 2D. Así es como los fabricantes de tambores predicen las notas musicales y los armónicos de un tambor antes de construirlo.



Podemos ver aparecer las mismas estructuras de ondas estacionarias a niveles moleculares y, a partir de nuestra experiencia con ondas a nivel macro, podemos predecir los mismos fenómenos a escalas cuánticas.



El medio de agua en nuestra piscina se reemplaza con un medio de sílice y átomos de oxígeno, y nuestra barrera reflectante se reemplaza por los bordes de la red cristalina. La estructura resultante es ahora nuestra muestra de cuarzo piezoeléctrico y, al estimular el cuarzo con energía eléctrica, podemos inducir el mismo tipo de patrón de onda estacionaria que se ve en la piscina o el tambor. Arriba tenemos una simulación de red cristalina con la representación de nuestras ondas de fonones dentro del cristal. La teoría sugiere que el par partícula/onda bion surge del colapso de la onda fonónica. El par partícula bion/onda es acelerado fuera del cristal como el surfista montando la ola, y experimentamos el efecto acumulativo de todos los modos resonantes como energía orgónica. En el diagrama anterior podemos ver que lambda (λ) representa la longitud de onda de un fonón en la red cristalina atómica. En la playa podemos esperar que la distancia entre las olas sea de unos 30 pies, pero en nuestro cristal estas olas pueden ser de 30 micrómetros o menos. Los gráficos a continuación muestran cómo los armónicos de onda estacionaria se apilan entre sí cuando se limitan a la estructura de un cristal terminado.



La muestra A representa la resonancia de primer orden, llamada frecuencia fundamental, que se muestra en amarillo. La muestra B representa el armónico de segundo orden en azul oscuro junto con el amarillo fundamental. La muestra C muestra los armónicos 3 y 4 en azul claro y rojo respectivamente. Aunque solo se muestran los armónicos de segundo a cuarto orden, hay armónicos para todos los números enteros e incluso armónicos fraccionarios a medida que aumenta la frecuencia. Todos los modos de resonancia contribuyen al tono final, con el espécimen D representando un patrón de intensidad en magenta después de que se suman la fundamental y todos los armónicos.

Los ejemplos que hemos presentado consideran la naturaleza unidimensional y bidimensional de las oscilaciones de onda estacionaria, pero nuestro cristal es una estructura tridimensional. Extendemos el

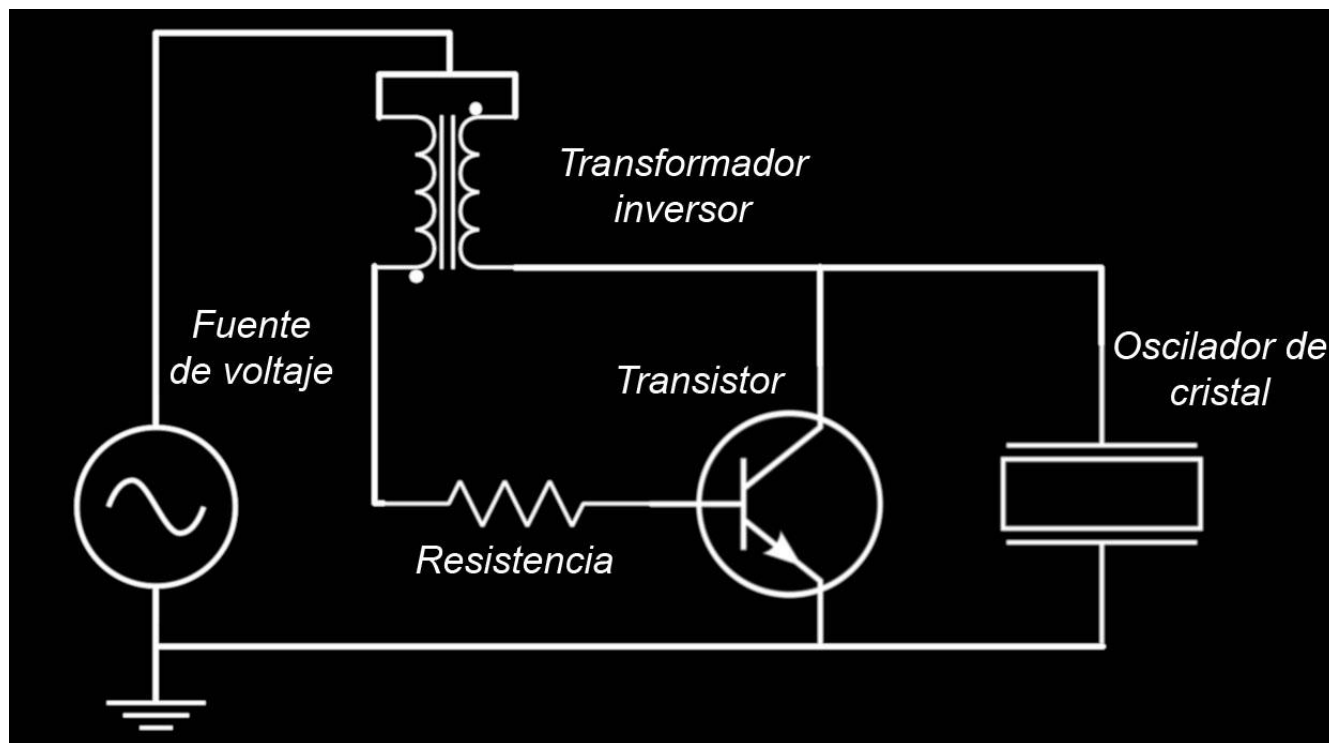
concepto de onda estacionaria a 3D y hemos creado una cavidad de resonancia que refleja internamente las vibraciones inducidas. Muy rápidamente, después de las primeras reflexiones, la onda estacionaria tridimensional se induce en la muestra. Esta es la importancia de usar una muestra de cristal con al menos una terminación, ya que la onda estacionaria tridimensional crea la mayor intensidad donde la red se lleva a un punto.

Después de examinar la teoría básica para generar orgón con el cristal de cuarzo piezoeléctrico, decidimos mejorar estos principios y crear un dispositivo eléctrico que pudiera recibir radiación electromagnética con eficiencias mayores que una suspensión de resina de metal y estimular el cristal de cuarzo para producir orgón. en armonía con todos los sobretonos de cada emisor.

El amplificador de orgón

Con la aplicación del efecto piezoeléctrico, se puede crear un dispositivo de resonancia que activo en la creación de energía orgónica. Pulsando electricidad a través de un cristal de cuarzo, se puede generar orgón bajo demanda a la frecuencia e intensidad deseadas. Si los ciclos de carga y descarga son lo suficientemente rápidos y están exactamente en sintonía con la frecuencia resonante de la muestra, se forma una onda estacionaria 3D con todos los armónicos dentro de la estructura cristalina y el orgón fluirá continuamente desde el dispositivo.

Considere el siguiente diagrama



El diagrama de circuito anterior ilustra los componentes y las conexiones internas del amplificador de orgón. Los componentes principales son el oscilador de cristal, el transistor, la resistencia y el transformador inversor. El funcionamiento del circuito se describirá en detalle en la parte 2 de esta serie de artículos, pero también se describe brevemente a continuación:

-Primero, se le da energía al circuito desde la fuente de voltaje. Esto es el transistor y permite que toda la energía del pulso entrante genere un campo magnético en el transformador.

-El voltaje a través del transistor se satura, lo que hace que la corriente a través del transformador disminuya. El cambio en la corriente induce una señal en el lado opuesto del transformador, cambiando el estado del transistor de "encendido" a "apagado".

-Toda la energía en el campo magnético y el resto de la energía del pulso entrante se dirige al oscilador de cristal. El campo magnético que colapsa induce un pulso a través del cristal muchas veces más grande que el voltaje de la fuente.

-El cristal absorbe el pulso de carga, induciendo tensión dentro de la red. Después de un punto de tensión máxima, la corriente a través del transformador se invierte. Esto induce una corriente opuesta en la base del transistor, volviendo a encender el interruptor y liberando rápidamente la carga a través del cristal. La transición entre el estado de salida y el estado de equilibrio emite un poderoso pulso de orgón.

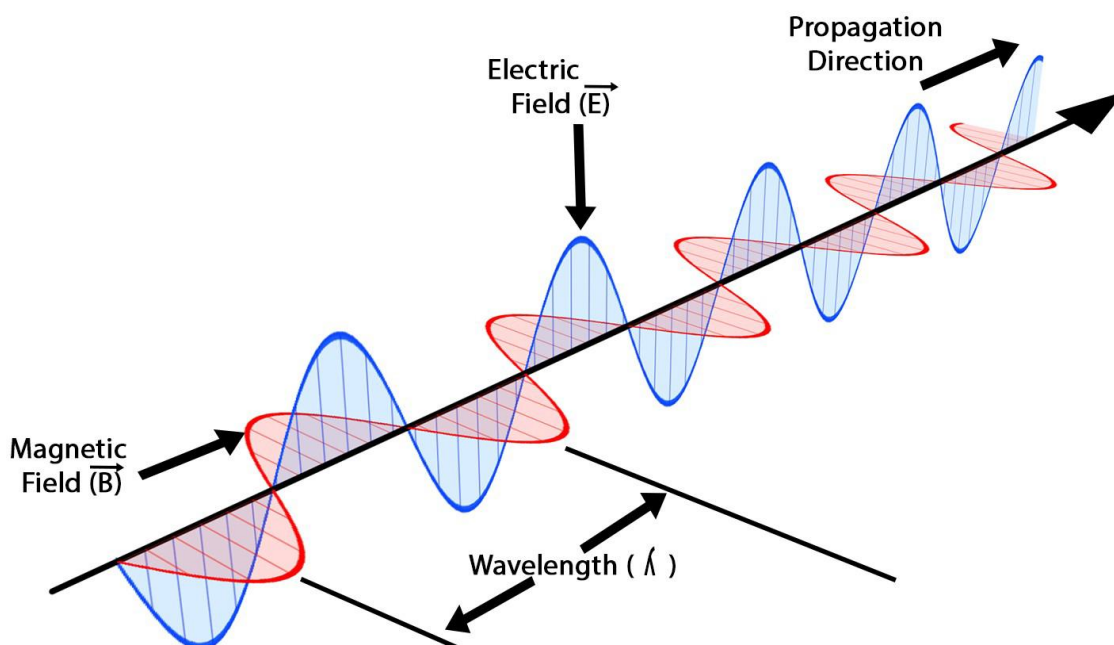
-El circuito se restablece, el campo magnético en el transformador vuelve a generarse y el cristal está listo para recibir el siguiente impulso de carga.

Este ciclo puede repetirse muchos miles o millones de veces cada segundo.

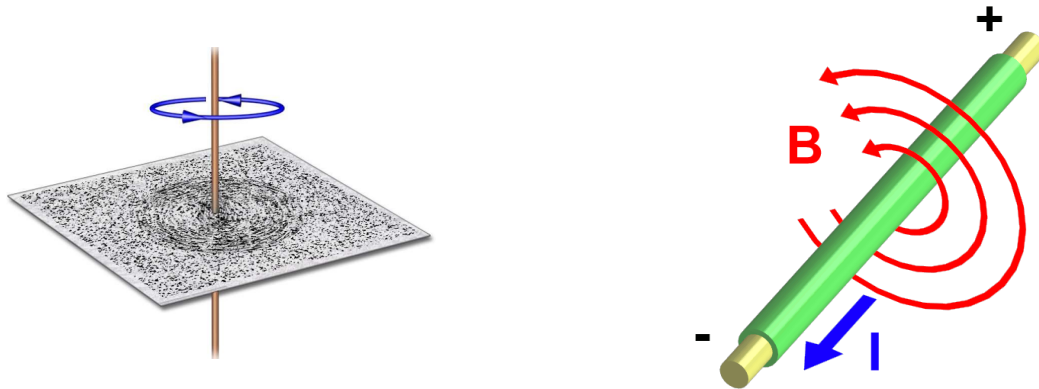
El siguiente paso es comprender la fuente de la energía eléctrica, la fuente de voltaje variable. La fuente de voltaje descrita en el circuito anterior es energía obtenida de la radiación electromagnética (EMR) natural y artificial. El amplificador de orgón puede extraer energía del espectro EM siempre que se utilice la interfaz correcta de "aire a electricidad".

Para comprender los dispositivos que emiten y capturan ondas electromagnéticas, primero debemos comprender la naturaleza de las ondas electromagnéticas y cómo viajan a través de un medio. El medio por el que viajan las ondas EM es tanto el campo eléctrico como el magnético; en el pasado, estos campos se denominaban "éter". El campo eléctrico y el campo magnético se pueden considerar como dos variables universales y, al igual que la temperatura, tienen un valor en todas partes de nuestro universo conocido. A continuación, se muestra un diagrama de una onda electromagnética modelo.

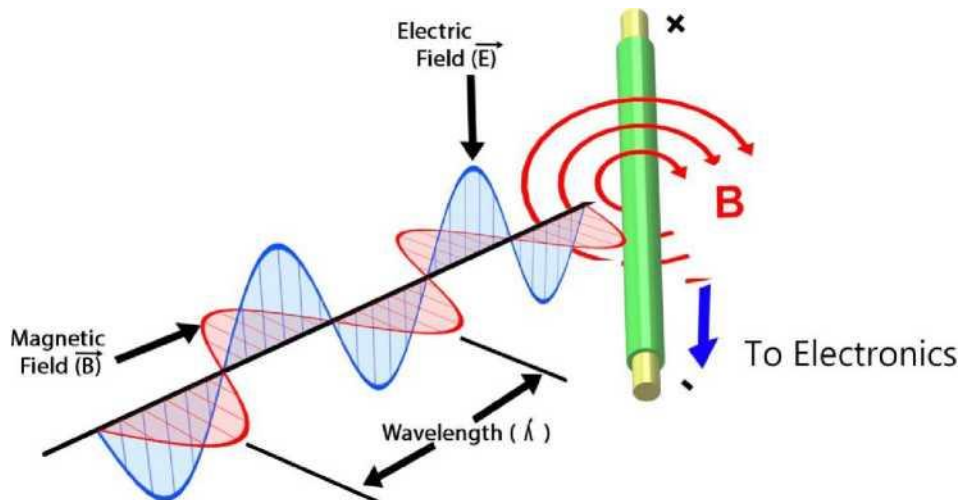
Electromagnetic Wave



Podemos ver en el diagrama anterior que el campo eléctrico y magnético están acoplados, actúan en tándem. Cuando el campo magnético es máximo, también lo es el campo eléctrico y lo mismo cuando ambos campos son mínimos. Para comprender el funcionamiento de una antena recordamos un experimento científico de la escuela primaria en el que se colocan limaduras de hierro en una placa de cartón con un cable estrecho en el centro. Cuando la corriente eléctrica pasa por el cable, las limaduras de hierro se alinean con el campo magnético recién creado. La implicación de este experimento es que un campo eléctrico inducirá un campo magnético, y también lo contrario, un campo magnético inducirá un campo eléctrico en un cable, como predijo la ley de Lenz.



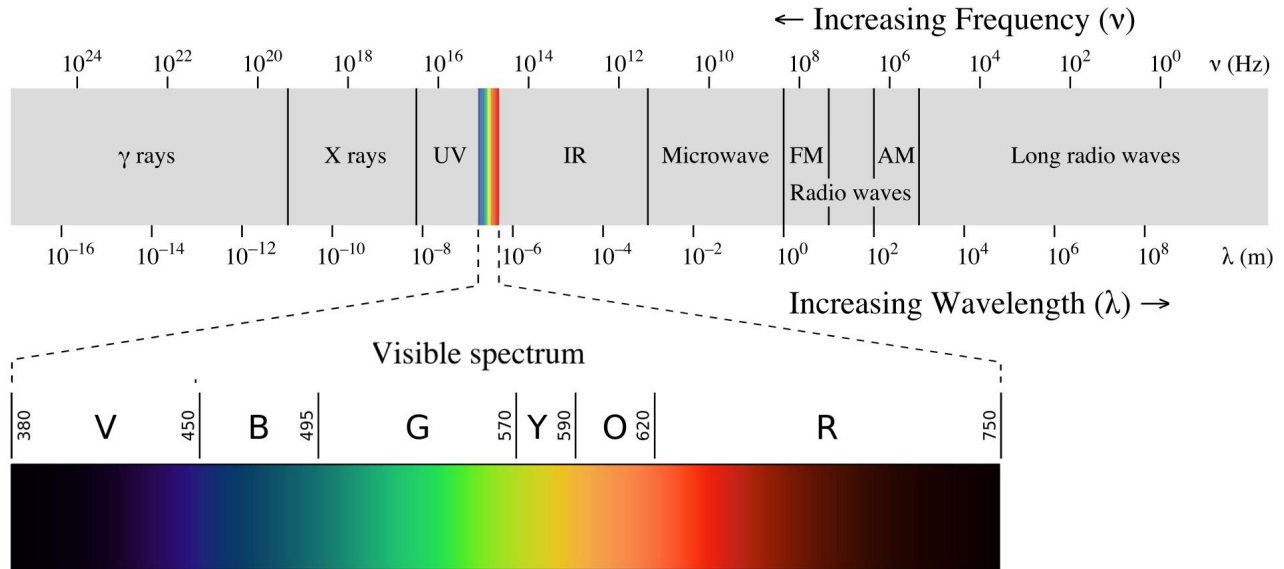
Cuando la onda electromagnética se propaga por el espacio, interactúa con el conductor vertical enrollando el campo magnético alrededor del cable e induciendo una corriente eléctrica alterna que puede detectarse.



La reciprocidad del efecto permite que una corriente alterna en un cable emita una onda electromagnética y, a la inversa, una onda electromagnética induzca una corriente alterna en un cable. Es a través de este proceso que las antenas pueden emitir y recibir energía eléctrica. La ley de Lenz nos da la capacidad de detectar campos magnéticos en función de la corriente inducida en un cable, esta fuente de acción electromagnética a distancia y la detección de campos remotos. Al conectar el cable activo de la antena al circuito del resonador, podemos utilizar la energía contenida en el medio eléctrico/magnético fluctuante para alimentar el dispositivo.

Tecnología de microondas y ondas milimétricas

Todo el tiempo el espectro electromagnético está activo. Como sentarse bajo las luces de un estadio, lo bombardean constantemente frecuencias EM en la banda de microondas y RF. A continuación, se incluye un diagrama para referenciar el espectro electromagnético.



El espectro electromagnético varía de 0 Hz a miles de millones de Hz, y podemos ver esa luz visible, todos los colores que nuestros ojos pueden ver y más, se encuentran en esta escala. Las frecuencias de las ondas electromagnéticas que son de interés caen por debajo del espectro visible, que se muestra en el diagrama a la derecha del arco iris. Debajo del espectro visible se encuentran las ondas infrarrojas, de terahercios, milimétricas y todas las señales de comunicación de radiofrecuencia. Por encima del espectro visible hay frecuencias de muy alta energía que se ha demostrado que causan cáncer. Estos rayos dañinos incluyen ultravioleta, rayos X, rayos gamma y radiación cósmica de ultra alta energía que se origina muy lejos de nuestro propio sistema solar. Estos rayos de alta energía chocan contra nuestra atmósfera desde nuestra propia estrella y otras, pero la gran mayoría de esos rayos son reflejados por nuestra ionosfera o desviados por el campo magnético de la tierra creando los cinturones de Van Allen. La porción muy pequeña que llega cerca del nivel del suelo puede interactuar con los átomos en nuestra atmósfera y convertirse a frecuencias de luz o microondas después de rebotar en muchas moléculas en el proceso. Los rayos y estas otras fuentes naturales se combinan para crear alrededor del 11 % de la energía de radiofrecuencia que está disponible para su recolección. La energía de repuesto en el espectro EM permite que el circuito de recolección de RF funcione continuamente en cualquier lugar de la superficie terrestre, incluso si hay poca EMR artificial debido a la energía disponible de forma natural. La cantidad de energía disponible para el circuito de cuarzo depende directamente de la cantidad de energía en el espectro de RF y microondas, por lo que un entorno más activo y ruidoso provocará una mayor respuesta del dispositivo. Es a través de este mecanismo de retroalimentación lo que permite que el amplificador de orgón se ajuste continuamente al entorno del usuario.

Recientemente, se han implementado redes de radio de próxima generación en el espectro de ondas milimétricas (5G). Esta porción del espectro EM es mucho más alta que las redes 4G, 3G y WiFi. Antes del despliegue de la tecnología 5G, el espectro de ondas milimétricas ha sido una banda tranquila y pacífica para la mayor parte del mundo, incluso en las grandes ciudades. Comprensiblemente, muchos están preocupados por los efectos en la salud de esta nueva frecuencia de radio y han estado tomando medidas para evitar la proliferación de estas ondas dentro de sus propios espacios. Al transferir la energía EM de amplio espectro a pulsos de orgón, las ondas de RF, microondas y milimétricas de repuesto se pueden usar para crear un ambiente tranquilo, ordenado y positivo.

Órdenes de Magnitud de Mayor Potencia

Los dispositivos pasivos de orgón, como la orgonita y las pirámides de orgón, pueden capturar ondas electromagnéticas siempre que la suspensión de metal/resina sea una mezcla de 50/50 o superior. La orgonita común tiene una suspensión de metal y resina con conductores bastante uniformes en tamaño y en varias orientaciones. Algunas orgonitas están hechas con purpurina metálica, mientras que otras utilizan virutas de metal y varias configuraciones de cobre. Para establecer una línea de base de con qué tipo de dispositivo compararemos el amplificador de orgón, ahora crearemos un modelo de pirámide de orgonita que muestre características promedio. Nuestro modelo Orgone Pyramid es una base de 4"x4", equivalente a la de Giza, que contiene una mezcla de resina de metal 50/50, con una distribución equitativa de metal en toda la estructura. Ahora queremos entender cómo interactúa esta estructura con las ondas EM. Para una onda EM, la suspensión de metal/resina 50:50 parece una antena fractal.

U.S. Patent

Sep. 17, 2002

Sheet 6 of 12

US 6,452,553 B1

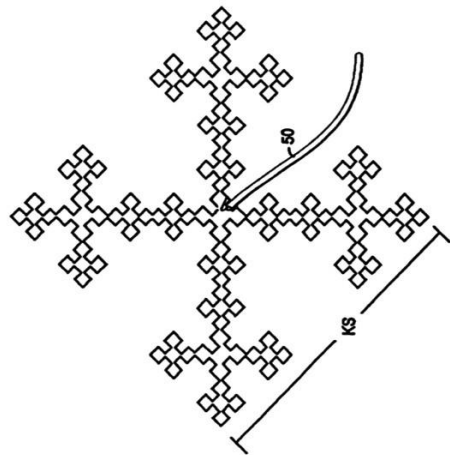


FIGURE 7E

Se puede pensar en una antena como una especie de lente que puede enfocar la señal en energía eléctrica detectable. Una propiedad interesante de las antenas, como las lentes, es la capacidad de funcionar tanto como un transmisor efectivo como un receptor efectivo. La efectividad de una antena para recolectar la potencia de la señal se clasifica por la cantidad de ganancia de señal que ofrece, expresada en decibelios y escrita como +/- XdB. Nos referimos al siguiente estudio que examina la efectividad de las antenas fractales en el espectro de microondas.

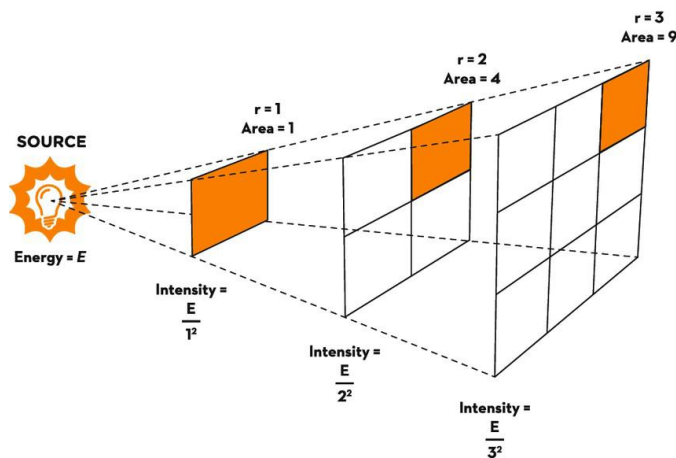
https://www.researchgate.net/publication/340243609_Design_Simulation_and_Analysis_of_Fractal_Antenna

El equipo de investigación informó valores entre -11dB y -20dB para su antena fractal, que era un diseño ideal con una precisión dimensional casi perfecta. Usaremos -20dB como la ganancia máxima que ofrece la estructura de metal-resina, con un resultado más probable alrededor de -40dB debido a que las virutas de metal en la mezcla 50/50 están en orientaciones aleatorias con contacto aleatorio entre un controlador y su vecino. La posibilidad de 50/50 de contacto entre dos virutas de metal resta valor a la energía aprovechada total disponible para el cristal de cuarzo. La orientación aleatoria de las virutas en la mezcla crea corrientes de Foucault que reducen la potencia de la señal de la onda EM entrante. A medida que el tamaño de las partículas de las virutas de metal se hace más pequeño, la aleatoriedad aumenta y menos potencia de RF penetra en la estructura de resina de metal más densa. Asumimos una potencia de aprovechamiento de señal de -40dB para la suspensión de metal-resina y, a partir de esta base, hacemos una generosa estimación de que se pueden recolectar de 1 a 10 microvoltios del espectro EM con el modelo de pirámide de orgonita. Usaremos 1-10 microvoltios como línea de base para evaluar la ganancia de señal del circuito amplificador de orgón propuesto.

En lugar de una suspensión de resina con metal, el dispositivo amplificador de orgón utiliza antenas de grado de comunicación, que han sido diseñadas para responder al rango de frecuencias electromagnéticas que son de interés. Mediante el uso de una antena, una red de adaptación de impedancia, una bomba de carga y un oscilador de retroalimentación positiva, el cristal de cuarzo dispone de energías de 10 a 300 milivoltios. Este es un aumento de 1000x - 300,000x en el efecto de recolección total en comparación con la suspensión de metal-resina, que es equivalente a una ganancia efectiva de 60-110dB. Si comparamos esta ganancia con el sonido, es la diferencia entre el ruido de un motor a reacción y una biblioteca. Una ganancia de señal de esta magnitud permite que el cristal vibre con una intensidad equivalente a miles de pirámides de orgonita.

Un beneficio adicional al aumento de la potencia disponible es un aumento del alcance efectivo. Podemos usar la ley del cuadrado inverso para estimar nuestro rango efectivo para el circuito de recolección de RF.

Inverse Square Law

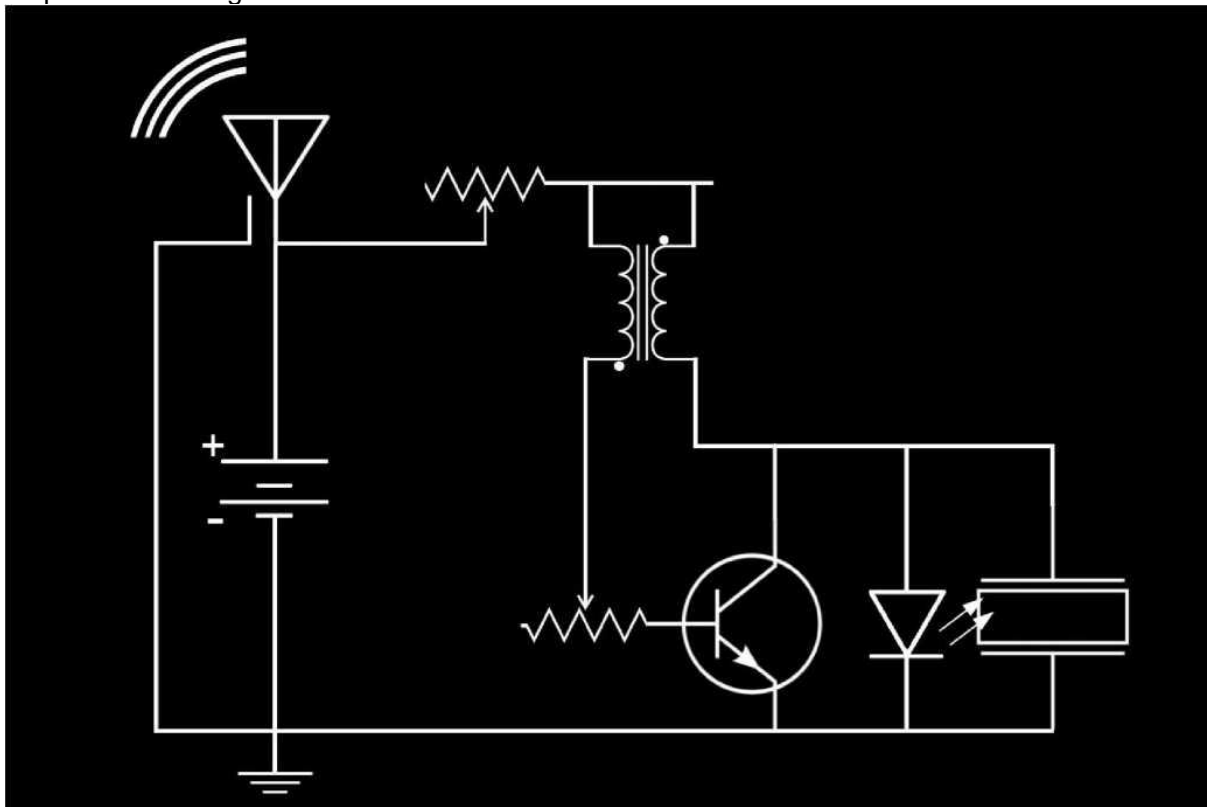


Comenzaremos con nuestra suposición anterior de que la pirámide de orgón puede recolectar 1 microvoltio de energía EMF y proporcionar orgón a una esfera de 25 pies (7,6 m) de radio. Usando la relación de 1 microvoltio a 300 milivoltios (1/300,000) para el amplificador de orgón de recolección de RF, la ley del cuadrado inverso da un resultado de 4173.6 metros, o un radio esférico de 2.6 millas. Este resultado establece que un usuario tendría que pararse a una distancia de 2,6 millas del circuito de recolección de RF para experimentar la misma intensidad que nuestro modelo de pirámide de orgón. Cuando pensamos en este resultado en comparación con otros dispositivos de RF, comienza a tener sentido. Las torres de telefonía e incluso los aviones de control remoto pueden transmitir una señal aproximadamente a la misma distancia si están dentro de la línea de visión del transmisor. Un dispositivo de orgonita equivalente en comparación con el circuito de recolección de RF sería un destructor de nubes bastante grande. Para tener un efecto en las nubes, la energía orgónica del dispositivo destructor de nubes debe alcanzar la atmósfera de inferior a media, con una altura de 1 a 12 millas. Para que esto sea posible, un rompenubes también debería tener un alcance efectivo de 1 milla o más.

Generación activa de orgón

Es posible producir una mayor amplificación de potencia modificando el circuito original para incluir una fuente de potencia activa. Al agregar una pila alcalina detrás del oscilador de onda estacionaria, se puede generar un pulso de orgón aún mayor desde el disparador de la radiación EM. A medida que la onda EM ingresa a la red de antena, el pulso positivo activa el ciclo del oscilador. El oscilador carga y descarga rápidamente el cristal, reiniciándose para el próximo pulso de energía EM. El circuito usa la energía de la celda alcalina para generar un pulso de hasta 4.5V a través del cristal de cuarzo. Un pulso de esta magnitud es 450 veces el circuito de recolección de RF y hasta 4,5 millones de veces más potente que nuestro modelo de pirámide de orgón. El alcance efectivo de la ley del inverso del cuadrado del

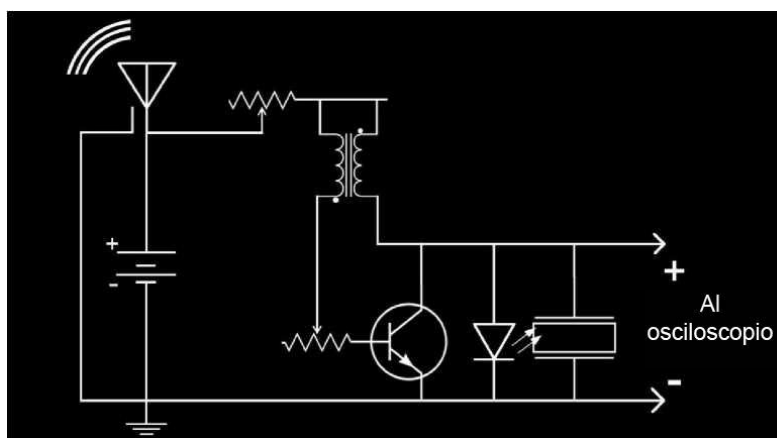
amplificador de potencia es de hasta 11 millas. A continuación, se muestra un esquema del circuito amplificador de órgano motorizado.



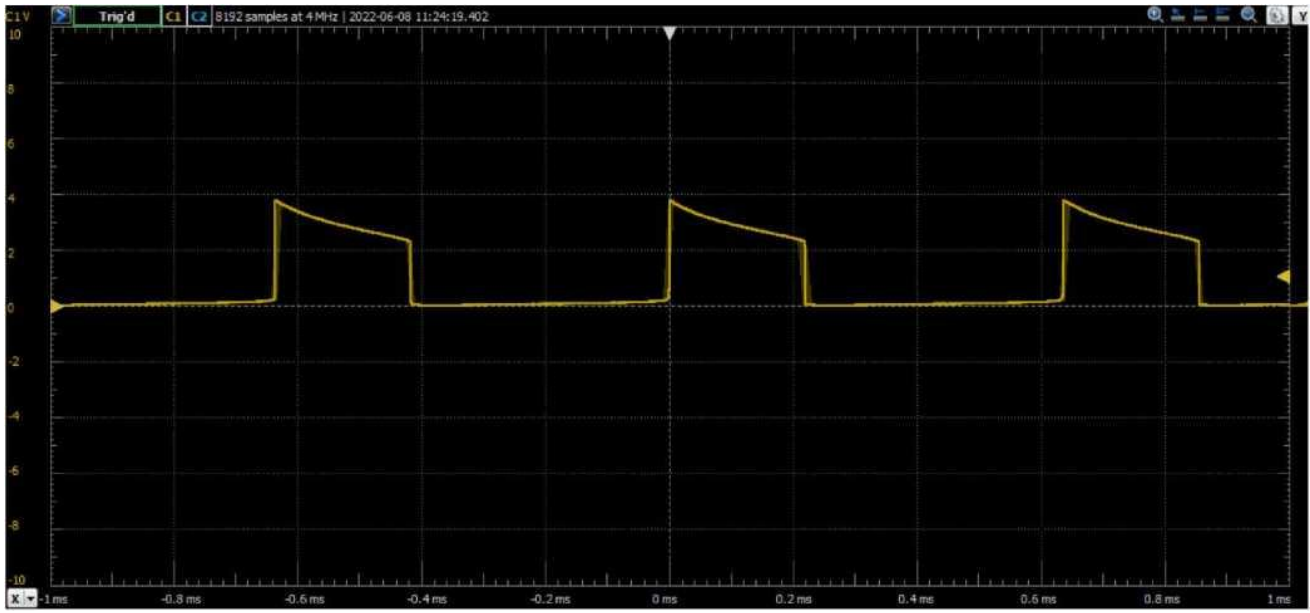
Prueba del amplificador de órgano

Entendemos que puede haber cierta controversia sobre las afirmaciones que se hacen sobre el circuito del amplificador de órgano. Estoy preparado para comprender el punto de vista de todos, pero también me he tomado el tiempo para recopilar pruebas de que este circuito funciona según lo previsto. A continuación, se muestran algunas capturas de pantalla de mi osciloscopio de escritorio y las simulaciones de circuitos están disponibles para quien lo desee.

A continuación, se muestra la configuración de la prueba:

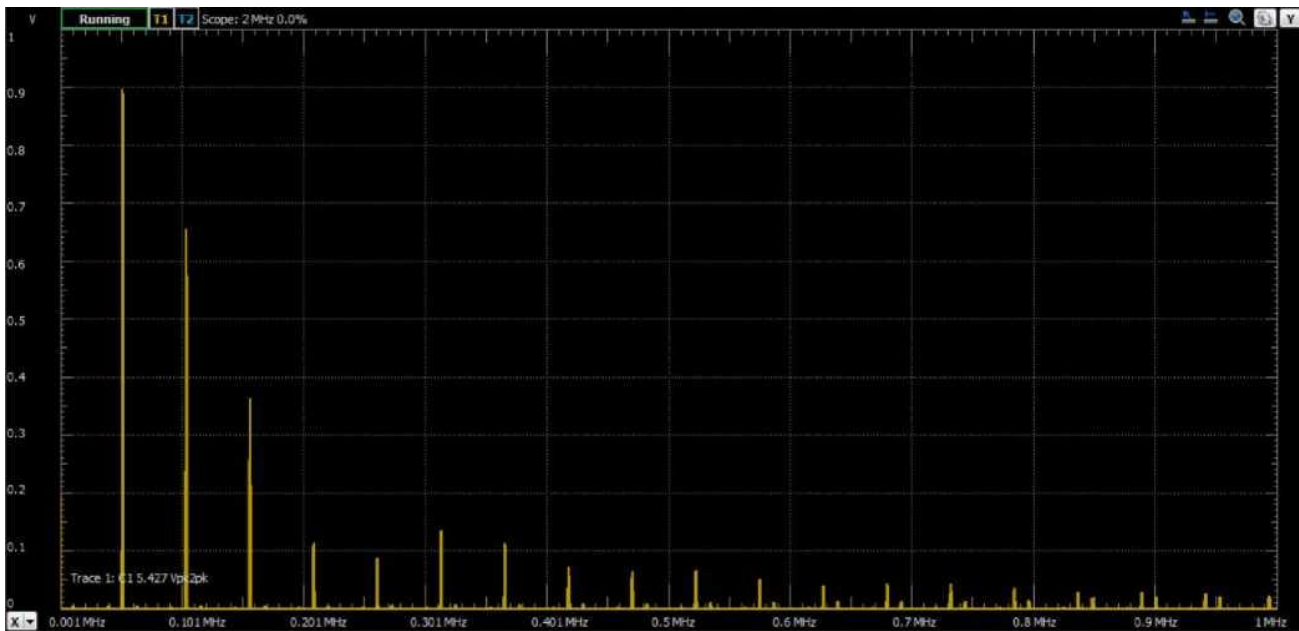


La primera captura de pantalla que presentaré es la señal de dominio de tiempo tomada de los dos contactos del oscilador de cristal.



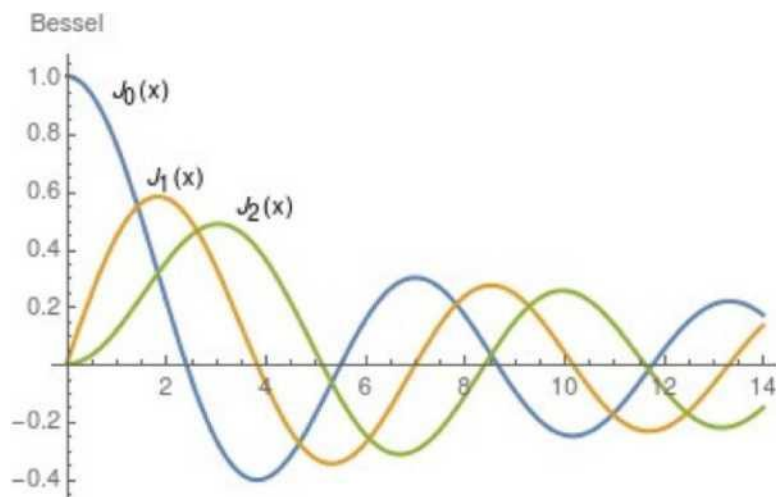
Al mirar este gráfico, podemos notar algunas cosas de inmediato. La primera es que tenemos un conjunto de ondas muy regularmente espaciadas que afectan a la red cristalina. Esto indica que nuestro oscilador funciona bien y aplica una sucesión de pulsos ordenado al cristal. El segundo atributo que notamos es la amplitud de estas ondas, es casi 3 veces mayor que el voltaje de nuestra pila alcalina debido a la retroalimentación positiva dentro del circuito resonante. El tercer atributo es la forma de la onda. Hay una aplicación muy rápida de energía al cristal, que se ve en el borde ascendente casi vertical. Después del pico del borde ascendente, el cristal acumula carga y tensión, lo que se ve en la pendiente descendente hacia el borde descendente. El borde descendente de la ola también está cerca de la vertical, lo que indica una descarga muy rápida y muestra la relajación de la red cristalina.

El siguiente gráfico es la respuesta de frecuencia del cristal a los pulsos eléctricos periódicos. El eje x es la frecuencia de 0 Hz a 1 Mhz, que es el límite de este osciloscopio manual. El eje Y es la amplitud, y al observar el gráfico de respuesta de frecuencia de la muestra de cristal, vemos algunas propiedades muy interesantes. Lo primero que se puede notar son los picos de energía muy regulares y definidos que parecen continuar a medida que aumenta la frecuencia. Este patrón fractal no es una coincidencia. Aunque el osciloscopio de escritorio solo puede detectar frecuencias de hasta 1 Mhz, el cristal oscilará con frecuencias mucho más altas. Teóricamente, los modos de resonancia continúan en este patrón fractal hasta e incluyendo las ondas de luz, pero en la práctica, los modos armónicos se detendrán muy por debajo de las frecuencias de terahercios. La amplitud de estos picos de frecuencia se vuelve cada vez más minúscula, pero aún están presentes según un concepto matemático llamado serie de Fourier.

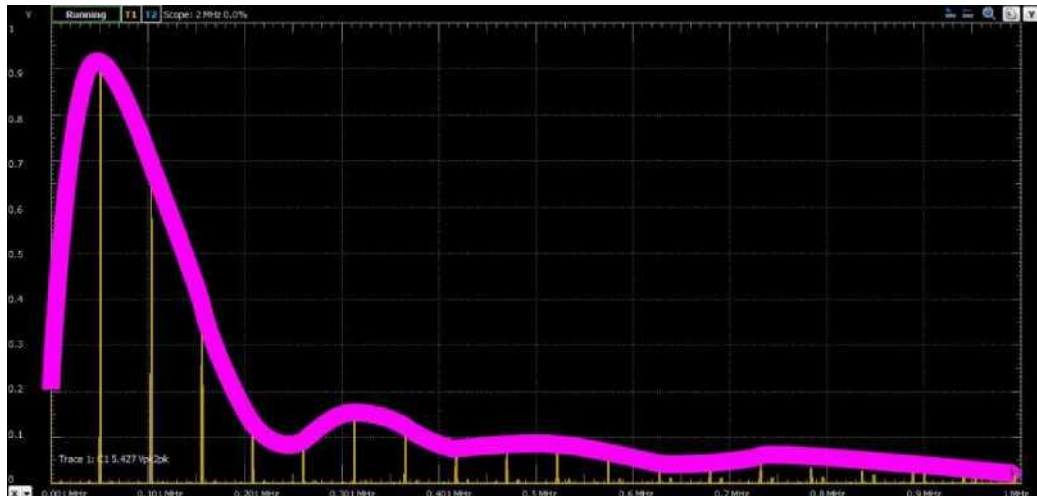
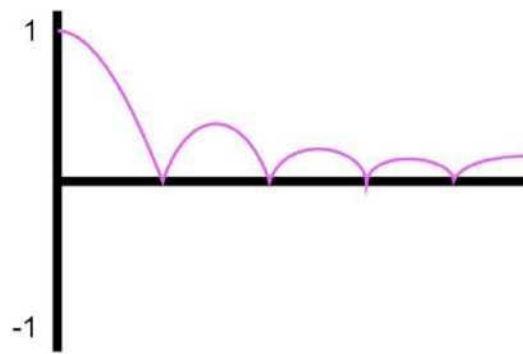
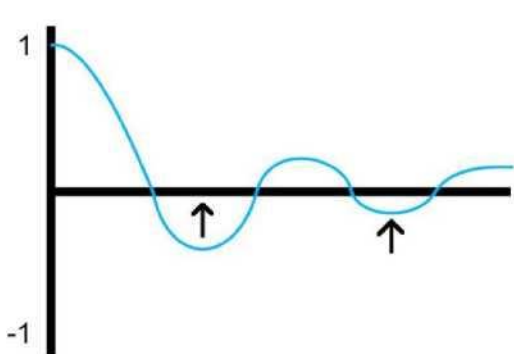


Otro atributo que notamos es cómo se distribuye la energía a lo largo del espectro de frecuencia. La energía se encuentra en picos muy estrechos, lo que indica que la energía de la señal ocupa una sola frecuencia local, creando un patrón similar a un peine. Este patrón de peine se atribuye a las frecuencias armónicas resonantes discutidas anteriormente en el artículo, siendo la frecuencia resonante más grande y más a la izquierda la fundamental. A partir de este gráfico, podemos ver cada modo de resonancia armónica ubicado a intervalos regulares, con muy poca energía en las frecuencias que se encuentran entre los modos resonantes. La respuesta de frecuencia similar a un peine se debe a una propiedad del cuarzo llamada factor Q, que es la tendencia de todas las frecuencias entre los armónicos del cristal a anularse, dejando solo los modos resonantes. El cuarzo tiene un factor Q de 10^6 que es muy alto en comparación con otros materiales. Un factor Q típico en la mayoría de los demás materiales es 10^2 o 10^3 . El alto factor Q en el cuarzo significa que es cerca de 10^3 o 1000 veces más efectivo para anular frecuencias que no armonizan con el conjunto resonante.

Lo último que nos gustaría observar es la penetración o forma de la respuesta de frecuencia del cristal. La amplitud de cada armónico sigue el patrón de una función de Bessel, la evidencia más convincente de que nuestro cristal vibra de acuerdo con el patrón de onda estacionaria descrito anteriormente. A continuación, se muestra una comparación de nuestro gráfico de frecuencia y una función de Bessel, tenga en cuenta la similitud.



Si tomamos el valor absoluto de la onda de Bessel de primer orden en azul, obtenemos un gráfico con una penetración casi exactamente igual a la respuesta de frecuencia de nuestro cristal:



Finalmente, para probar que el cristal está creando el efecto observado en el dominio de la frecuencia, se quitó un cable eléctrico que conectaba el cristal al circuito impulsor, desconectando efectivamente el cristal del circuito del oscilador. Los cables del osciloscopio a la muestra de cristal se dejaron conectados. A continuación, se muestra la forma de onda que se midió desde el cristal desconectado, podemos ver que la trama no contiene nada más que ruido blanco. No hay pulsos observables ni respuesta del dispositivo de cristal. Si tuviera que ver esta señal observada con una pantalla, se vería y sonaría como ruido blanco.



Espero que esta sea evidencia suficiente para demostrar que los principios operativos del amplificador de orgón son correctos y están en línea con todas las leyes naturales observadas. Todas las medidas se tomaron en la unidad de demostración del amplificador de orgón alimentado original.

Conclusión

En este artículo hemos explorado la naturaleza de las estructuras cristalinas y explicado cómo se genera el orgón a partir de las propiedades piezoeléctricas de ciertos cristales. Examinamos el efecto piezoeléctrico inverso y cómo se usa en el amplificador de orgón para generar órdenes de más magnitud de energía que un modelo de pirámide de orgón. Describimos en detalle cómo se capturan las ondas electromagnéticas y examinamos cómo el circuito del oscilador aplica estos pulsos al cristal de cuarzo. Luego se prueba el circuito para demostrar que el cristal está oscilando de acuerdo con la teoría. Espero que este documento aclare a fondo las ideas sobre las que se construyó este dispositivo. Espero que le brinde suficiente información al lector para llegar a sus propias conclusiones y comprender que hay muchas formas de lograr el efecto indicado, siendo esta solución solo una. Espero que muchos puedan aprender y utilizar esta información y desarrollar aún más las ideas presentadas aquí. En la parte 2 de esta serie de artículos, explicaré el lado más práctico del amplificador de orgón, incluida la selección de piezas, la teoría y la construcción del circuito eléctrico.

Gracias por leer,
-Dr. Jaidon Chase

Facebook: @OrgoneAmplifiers

Instagram: @orgoneamplifiers

Correo electrónico: orgone.amplifier@gmail.com

Jaidon Chase recibió su doctorado en la Facultad de Nuevo Bienestar Aplicado de Nederland, Colorado, por su invención y defensa del circuito amplificador de orgón. Jaidon ha estado estudiando semiconductores, electrónica e ingeniería eléctrica durante 15 años y ha diseñado paneles solares, fuentes de alimentación, amplificadores estéreo, sintetizadores electrónicos, equipos de comunicaciones y simulaciones por computadora. Jaidon entró en contacto por primera vez con la orgonita y las pirámides de orgón en el Festival de Música Arise en 2019 e investigó estas teorías durante la pandemia. El primer amplificador de orgón se construyó en 2022.



En reconocimiento al Dr. Wilhelm Reich:

Wilhelm Reich fue un doctor en medicina y psicoanalista austriaco, además de ser miembro de la segunda generación de analistas después de Sigmund Freud. Autor de varios libros influyentes, en particular El carácter impulsivo (1925), Análisis del carácter (1933) y La psicología de masas del fascismo (1933), se hizo conocido como una de las figuras más radicales en la historia de la psiquiatría. El Dr. Reich es el padre indiscutible de la teoría del orgón e inventor del acumulador de orgón. El acumulador de orgón es una caja grande hecha de capas alternas de metal y material orgánico. Esta es la idea fundamental detrás de las capas de material conductor y aislante alternado en orgonita. El sujeto entraba y se sentaba en la caja, a veces sin ropa, hasta horas y horas, mediando y experimentando energía orgónica. Curiosamente, la caja no contenía ningún cuarzo. Ahora sabemos que el hueso es piezoeléctrico, por lo que podemos teorizar que, al entrar en contacto descalzo con el piso de metal, fueron los huesos del sujeto los que resonaron con el poder del orgón. Los sujetos a menudo afirmaban que podían sentir el poder del acumulador "dentro de sus huesos". Gracias Dr. Reich por el trabajo que permitió realizar el amplificador de orgón.



Referencias:

<https://en.wikipedia.org/wiki/Piezoelectricity#/media/File:SchemaPiezo.gif>

<https://www.watelectronics.com/lensz-law-formula-significance-uses/>

<https://faq.spire.com/what-are-the-types-of-ocean-waves>

<https://www.geogebra.org/m/unMsPqkn>

<https://www.youtube.com/watch?v=YB9sl7xFjdc>

<https://dtwtutorials.com/physics-electromagnetic-waves/>

https://en.wikipedia.org/wiki/Phonon#/media/File:Lattice_wave.svg

https://www.walter-fendt.de/html5/phen/standingwavereflection_en.htm

<https://www.oocities.org/wave032002/reflection.htm>

https://www.researchgate.net/publication/340243609_Design_Simulation_and_Analysis_of_Fractal_Antenna

<https://nvhrbiblio.nl/biblio/boek/198-An-Introduction-to-Antenna-Theory.pdf>

<https://www.antenna-theory.com/basics/main.php>

<https://www.usna.edu/EE/ee434/Handouts/EE302%20Lesson%2013%20Antenna%20Fundamentals.pdf>

[https://en.wikipedia.org/wiki/Orgone#/media/File:Orgone_Energy_Accumulator_\(right-angle,_open\).JPG](https://en.wikipedia.org/wiki/Orgone#/media/File:Orgone_Energy_Accumulator_(right-angle,_open).JPG)

-----INICIAR BLOQUE DE CLAVE PÚBLICA PGP-----

```
mDMEYtJjoRYJKwYBBAHaRw8BAQdAxtLIShU7F1mrmc+Z0bxJQj1rgklpzF5yBZHC
aYJP2oq0LURyLiBKYWlkb24gQ2hhc2UgPG9yZ29uZS5hbXBsaWZpZXJAZ21haWwu
Y29tPoiZBBMWCgBBFiEEjB1picYhoubrX5ZIXA3cWS/Fnj0FAMLSY6ECGwMFCQPE
NV8FCwkIBwICIGlGFQoJCAAsCBBYCAweCHgcCF4AACgkQXA3cWS/Fnj2gYAD+N0bz
3ECb0Gu5F+q7gD16VqTuhWKt1UOLtuhi0cV1cEgBAPaju75JUazpKIkYd9AW3p4W
2GLmSCtNI5QgomjUnicCuDgeYtJjoRIKKwYBBAGXVQEFAQEHQFIZNVzV9bF2YI9W
omt+BCsO/WzPwhXdYKRguu+UpbhrAwEIB4h+BBgWCgAmFiEEjB1plcYhOUbrX5ZI
XA3cWS/Fnj0FAMLSY6ECGwwFCQPENV8ACgkQXA3cWS/Fnj0wuQEAIMxVchwVo9Cn
jbQgRLncDoMmdnXSU4nzk4IP3mFX8BEA/31rtIKGWGLY0VHlcjqr3iTzucLBCRNj
O1oYkeyblZ4L
```

=+ERw

-----FIN DEL BLOQUE DE LLAVE PÚBLICA PGP-----